

УДК 533.6.013.42

ИССЛЕДОВАНИЕ СОБСТВЕННЫХ ЧАСТОТ
ПРЯМОЛИНЕЙНОГО ТРУБОПРОВОДА

ЗЕФИРОВ В. И., КОЛЕСОВ В. В., МИЛОСЛАВСКИЙ А. И.

Задача неустойчивости решений уравнения малых колебаний прямолинейного трубопровода, несущего установившийся поток несжимаемой жидкости, сводится к исследованию расположения спектра собственных частот трубопровода в комплексной плоскости. Общие свойства спектра изучаются методами функционального анализа, его поведение — в зависимости от параметров задачи, области дивергенции и флаттера — исследуется численно.

1. Уравнение малых колебаний $u=u(x, t)$ горизонтальной вязкоупругой трубы, находящейся в вязкой внешней среде и несущей установившийся поток несжимаемой жидкости, в безразмерных переменных имеет вид [1]:

$$\alpha \frac{\partial^5 u}{\partial t \partial x^4} + \frac{\partial^4 u}{\partial x^4} + v^2 \frac{\partial^2 u}{\partial x^2} + 2\beta v \frac{\partial^2 u}{\partial t \partial x} + k \frac{\partial u}{\partial t} + \frac{\partial^2 u}{\partial t^2} = 0 \quad (1.1)$$
$$x = \frac{s}{l}, \quad \alpha = \left[\frac{EI}{m+m_t} \right]^{\frac{1}{2}} \frac{v}{l^2}, \quad v = \left[\frac{m}{EI} \right]^{\frac{1}{2}} Ul$$
$$\beta = [m/(m+m_t)]^{\frac{1}{2}}, \quad k = cl^2 [EI(m+m_t)]^{-\frac{1}{2}}$$

где t — безразмерное время; координата s отсчитывается вдоль оси трубы, m , m_t — погонная масса жидкости и трубы, U — скорость жидкости, l — длина трубы, EI — изгибная жесткость сечения трубы, v — коэффициент внутреннего трения (материал Фойхта), c — коэффициент внешнего трения.

Рассматривается случай, когда давление жидкости и осевое растягивающее усилие равны нулю.

Предположим, что труба закреплена шарнирно:

$$u|_{x=0}=u|_{x=l}=\partial^2 u/\partial x^2|_{x=0}=\partial^2 u/\partial x^2|_{x=l}=0. \quad (1.2)$$

В случае $\alpha=k=0$ уравнения (1.1), (1.2) впервые выведены и исследованы в [2], где найдено критическое значение параметра скорости $v_*=\pi$. В [3] на основе метода Ляпунова доказано, что при $0 \leq v < \pi$ трубопровод устойчив, а при $v=\pi n$ ($n=1, 2, \dots$) неустойчив в случае $\alpha=k=0$, так что найденное в [2] критическое значение оказалось точным. Спектральная задача, отвечающая уравнениям (1.1), (1.2), исследовалась в [4, 4, 5] численными методами и для закритических значений v при некоторых значениях α , β , k . В [6, 7] сведения о собственных частотах получены методами функционального анализа.

В публикуемой работе методами [6, 7] в сочетании с методами теории возмущений линейных операторов [8] и асимптотическими методами дифференциальных уравнений¹ показано, что при наличии сил трения ($\alpha+k>0$) нулевое решение задачи (1.1), (1.2) устойчиво при $0 \leq v < v_*=\pi$.

¹ См. Милославский А. И. Неустойчивость прямолинейного трубопровода при большой скорости жидкости, протекающей через него. Харьков, 1981.—21 с. Деп. в ВИНИТИ 11.11.81; № 5184-81.

а при $v > v_*$ неустойчиво; количество неустойчивых частот при $v > \pi$ равно $[v/\pi]$ — целой части дроби v/π . В отсутствие сил трения ($\alpha = k = 0$) показано, что устойчивость по Ляпунову нулевого решения задачи (1.1), (1.2) равносильна тому, что спектр частот чисто мнимый и простой, при $v > \pi$ число неустойчивых частот не превосходит $[v/\pi]$ и зависит от β (различаются случаи $\beta < \beta_* = 3^{-1/2}$ и $\beta > \beta_*$), в случае $\pi(2n-1) < v < 2\pi n$ ($n = 1, 2, \dots$) число вещественных частот нечетно; отсюда следует, что для $\pi < v < 2\pi$ спектр неустойчивости состоит из единственного положительного числа. Для собственных частот получены асимптотические формулы при больших v и при малых β .

Поведение первых пяти собственных значений в зависимости от v ($0 \leq v \leq 6\pi$) исследовано численно по алгоритму [9] для нескольких фиксированных значений остальных параметров. Особый интерес вызывают точки слияния и распадения собственных частот, так как они определяют границы дивергенции и флаттера. Обнаружено, что в отсутствие сил трения при $\beta < \beta_*$ слияние и распадение траекторий частот происходит только на вещественной оси, при $\beta > \beta_*$ флаттер образуется только с мнимой оси, при этом возникает единственный критический интервал устойчивости. В случае $\alpha + k > 0$ этот интервал исчезает, флаттер образуется лишь с вещественной оси.

2. Введем в рассмотрение гильбертово пространство $H = L_2[0, 1]$ и операторы A_+, A_1, B_0 , действующие в нем: $A_+y = y^{IV}$ для $y \in D(A_+)$ — области определения оператора A_+ :

$$D(A_+) = \{y | y \in W_2^4[0, 1], y(0) = y(1) = y''(0) = y''(1) = 0\}$$

$$A_1y = y'', \quad B_0y = y', \quad y \in D(A_+)$$

Оператор A_+ самосопряжен, положителен, обратный к нему оператор A_+^{-1} вполне непрерывен. Спектр $\sigma(A_+)$ оператора A_+ состоит из чисел $\{(\pi n)^4\}_{n=1}^\infty$, нормированные собственные функции $e_n(x) = 2^{1/2} \sin \pi n x$ ($n = 1, 2, \dots$). Оператор A_1 симметричен и может быть представлен в виде $A_1 = -A_+^{1/2}$. Оператор B_0 кососимметричен $(B_0x, y) = -(x, B_0y)$ ($x, y \in D(A_+)$) и подчинен оператору A_+^{-1} (т. е. оператор $B_0A_+^{-1/4}$ ограничен), как следует из одной теоремы в [10].

Используя введенные обозначения, запишем задачу (1.1), (1.2) как обыкновенное уравнение второго порядка в пространстве H (I — единичный оператор):

$$u'' + (\alpha A_+ + 2\beta v B_0 + kI)u' + Au = 0, \quad A = A_+ + v^2 A_1 \quad (2.1)$$

Под устойчивостью (экспоненциальной устойчивостью) нулевого решения уравнения (2.1) понимается неравенство

$$\|u(t)\|^2 \leq C[(u'(0), u'(0)) + (A_+u(0), u(0))] \quad (t \geq 0)$$

$$(\|u(t)\|^2 \leq C_\epsilon e^{-\epsilon t} [(u'(0), u'(0)) + (A_+u(0), u(0))], t \geq 0)$$

с положительными постоянными C (C_ϵ), независящими от $t, u(0), u'(0)$.

Под нормой $\|\dots\|$ понимается энергетическая норма

$$\|u(t)\|^2 = (u', u') + (A_+u, u) \quad (2.2)$$

Обычную норму $x, x \in H$ обозначим $|x| = \sqrt{(x, x)}$.

Рассмотрим уравнение более общего вида в пространстве H :

$$u'' + (R+B)u' + Au = 0 \quad (2.3)$$

Относительно операторов в уравнении (2.3) предположим следующее: оператор A самосопряжен², $|A| \geq aI$, $a > 0$; оператор R самосопряжен,

² Если $A = \int \lambda dE_\lambda$ — спектральное разложение оператора A , то $|A| = \int |\lambda| dE_\lambda$. Под неравенством $T \geq S$ понимается неравенство $(Tx, x) \geq (Sx, x)$, $x \in D(T) \subset D(S)$.

$|A| \geq \gamma R$, $R \geq rI$, $\gamma > 0$, $r \geq 0$, оператор B подчинен оператору $|A|^{\frac{1}{2}}$ и кососимметричен.

Под решением $u(t)$ уравнения (2.3) понимается дважды дифференцируемая функция $u(t) \in D(A)$, такая, что функция $|A|^{\frac{1}{2}}u(t)$ дифференцируема. Оператор A является оператором потенциальной энергии системы, оператор R — оператором сил трения, оператор B — оператором гироскопических сил. Обобщением на бесконечномерный случай известных теорем Томсона — Тэта — Четаева [11] является

Теорема 1. Предположим, что для любых $u_0 \in D(A)$, $u_1 \in D(|A|^{\frac{1}{2}})$ существует и единственное решение $u(t)$ уравнения (2.3), такое, что $u(0) = u_0$, $u'(0) = u_1$. Тогда: если $A > 0$, то решения уравнения (2.3) устойчивы; если $A > 0$, $r > 0$, то решения уравнения (2.3) экспоненциально устойчивы; если существует вектор $x_0 \in H$, такой, что $(Ax_0, x_0) < 0$, $r > 0$, то решение $u=0$ уравнения (2.3) неустойчиво.

Устойчивость (неустойчивость) нулевого решения уравнения (2.3) понимается в норме

$$\|u\|_0^2 = (u', u') + (|A|u, u) \quad (2.4)$$

Доказательство. Докажем третье утверждение теоремы 1, остальные утверждения доказываются аналогично. Рассмотрим функцию (функцию Ляпунова) $V(u) = -(u', u) - (Au, u) - \varepsilon(Ju, u')$, где J — ограниченный оператор в H , такой, что $J^* = J$, $\|J\| = 1$, $J\bar{A} = |A|$.

Используя уравнение (2.3), вычислим производную

$$\begin{aligned} dV/dt = & 2(Ru', u') + 2\operatorname{Re}(Bu', u') - \varepsilon(Ju', u') + \\ & + \varepsilon(Ju, Bu') + \varepsilon(Ju, Ru') + \varepsilon(Ju, Au) \end{aligned}$$

Из свойств операторов в (2.3) вытекают неравенства

$$dV/dt \geq \gamma_1 \|u\|_0^2, \quad V(u) \leq \gamma_2 \|u\|_0^2 \quad (2.5)$$

с некоторыми положительными постоянными $\gamma_i = \gamma_i(\varepsilon)$ ($i=1, 2$; ε достаточно мало). Неравенства (2.5) и рассуждения, применяемые при доказательстве второй теоремы Ляпунова о неустойчивости [11], позволяют окончить доказательство теоремы.

Применим теорему 1 к уравнениям (1.1), (1.2). Согласно [12], в случае $\alpha > 0$ для любых $u_0 \in D(A)$, $u_1 \in H$ существует единственное решение $u(t)$ уравнений (1.1), (1.2), такое, что $u(0) = u_0$, $u'(0) = u_1$. В случае $\alpha = 0$ существование и единственность решения уравнений (1.1), (1.2), такого, что $u(0) = u_0$, $u'(0) = u_1$ для любых $u_0 \in D(A)$, $u_1 \in D(|A|^{\frac{1}{2}})$, следует из результатов [13]. Покажем, что при $v \neq \pi n$ ($n=1, 2, \dots$) существуют постоянные $\gamma > 0$, $a > 0$, такие, что $|A| \geq aI$, $|A| \geq \gamma R$. Так как $Ae_n = -[(\pi n)^4 - (\pi nv)^2]e_n$, $Re_n = [\alpha(\pi n)^4 + k]e_n$ ($n=1, 2, \dots$), то нужное неравенство следует из существования таких $\gamma > 0$, $a > 0$, что

$$|(\pi n)^4 - (\pi nv)^2| \geq \gamma [a(\pi n)^4 + k], \quad |(\pi n)^4 - (\pi nv)^2| \geq a \quad (v \neq \pi n, n=1, 2, \dots)$$

При $0 \leq v < \pi$ оператор A положителен, при $v > \pi$ у оператора A существует $[v/\pi]$ отрицательных собственных значений. В теореме 1 речь идет об устойчивости в норме (2.4). В силу неравенства $c_1|A| \leq A_+ \leq c_2|A|$, $0 < c_1 < c_2$ ($v \neq \pi n$, $n=1, 2, \dots$) устойчивость по норме (2.4) эквивалентна устойчивости по норме (2.2). Поэтому при $\alpha+k > 0$ и $0 \leq v < \pi$ решения уравнений (1.1), (1.2) экспоненциально устойчивы, при $\alpha+k > 0$, $v > \pi$ решение $u=0$ неустойчиво по норме (2.2).

Аналогично рассматривается случай жесткого защемления трубы: $u|_{x=0} = u|_{x=1} = \partial u / \partial x|_{x=0} = \partial u / \partial x|_{x=1} = 0$. В этом случае при $\alpha+k > 0$, $0 \leq v < 2\pi$ решения уравнения экспоненциально устойчивы, при $\alpha+k > 0$, $v > 2\pi$ решение $u=0$ неустойчиво в энергетической норме. Полученные результаты показывают, что при наличии сил трения ($\alpha+k > 0$) гироскопические силы не влияют на критическое значение параметра v .

Обобщая теорему из [14] на бесконечномерный случай, можно доказать, что при $\alpha+k>0$, $v\neq\pi n$ ($n=1, 2, \dots$) спектр операторного пучка

$$N(\lambda)=\lambda^2 I+\lambda(\alpha A_++2\beta v B_0+kI)+A \quad (2.6)$$

не пересекается с мнимой осью, при $v>\pi$ в полуплоскости $\{\lambda|\operatorname{Re}\lambda>0\}$ находится в точности $[v/\pi]$ собственных значений пучка (2.6).

3. Исследуем поведение собственных частот и вопрос об устойчивости трубопровода при $\alpha=k=0$. Полагая в уравнении

$$u''+Bu'+Au=0 \quad (B=2\beta v B_0), \quad t>0, \quad u=e^{\lambda t}x, \quad x\in H \quad (3.1)$$

придем к спектральной задаче для квадратичного операторного пучка $L(\lambda)$:

$$L(\lambda)x=(\lambda^2 I+\lambda B+A)x=0 \quad (3.2)$$

Уравнение (3.2) рассматривается при следующих предположениях: оператор A имеет вид $A=A_++A_1$, где оператор A_+ самосопряжен, положителен, обратный к нему оператор A_+^{-1} вполне непрерывен. Симметрический оператор A_1 подчинен оператору $A_+^{1/2}$ в том смысле, что $A_1=DA_+^{1/2}$, где D — ограниченный оператор; оператор B кососимметричен и подчинен оператору $A_+^{1/2}$.

Теорема 2. Спектр $\sigma(L)$ пучка $L(\lambda)$ состоит из изолированных точек конечной алгебраической кратности.

Эти точки либо лежат на мнимой оси, либо заключены в круге $|\lambda|\leqslant 0,5\|D\|$.

Спектр пучка $L(\lambda)$ симметричен относительно мнимой оси. Пусть $\{\lambda_j\}$ — собственные числа пучка $L(\lambda)$, среди которых нет попарно симметричных относительно мнимой оси. Обозначим через $\rho(\lambda)$ алгебраическую кратность не чисто мнимого собственного числа λ . Если λ — чисто мнимое собственное число, то через $\rho(\lambda)$ обозначим $\rho(\lambda)=\sum[d_i/2]$, где d_1, d_2, \dots, d_r — число непростых элементарных делителей, отвечающих числу λ . Тогда имеет место неравенство

$$\rho(\lambda_1)+\rho(\lambda_2)+\dots\leqslant \kappa \quad (3.3)$$

где κ — число неположительных собственных чисел оператора A , сосчитанных с учетом их кратности.

Система собственных и присоединенных векторов пучка образует базис Рисса [15] в пространстве $H^\Phi H$, снабженном метрикой (2.2).

Доказательство. Первое утверждение теоремы выводится из леммы работы [15, с. 325], аналогичное предложение сформулировано в [17].

Для доказательства второго утверждения рассмотрим квадратичную форму

$$(L(\lambda)x, x)=\lambda^2(x, x)+\lambda(Bx, x)+(Ax, x) \quad (3.4)$$

Полагая $\lambda=re^{i\theta}$ и отделяя вещественную часть в равенстве $\lambda^{-1}(L(\lambda)x, x)=0$, получим соотношение

$$[(Ax, x)+r^2(x, x)]\cos\theta=0 \quad (3.5)$$

Из соотношения (3.5) вытекает, что либо $\theta=\pm\pi/2$, либо

$$0=(Ax, x)+r^2(x, x)=(A_+x, x)+(DA_+^{1/2}x, x)+r^2(x, x) \quad (3.6)$$

Равенство (3.6) приводит к оценке

$$2r|A_+^{1/2}x|\cdot|x|\leqslant(A_+x, x)+r^2(x, x)=-(DA_+^{1/2}x, x)\leqslant\|D\|\cdot|A_+^{1/2}x|\cdot|x|$$

из которой следует второе утверждение теоремы.

При доказательстве третьего утверждения теоремы делаем замену $y=\lambda x$ и перепишем уравнение (3.2) в виде линейного уравнения в прост-

пространстве $H^{\oplus}H$:

$$Sz = \lambda z, \quad S = \begin{vmatrix} -B & -A \\ I & 0 \end{vmatrix}, \quad z = \begin{vmatrix} y \\ x \end{vmatrix} \quad (3.7)$$

Введем в пространстве $H^{\oplus}D(A)$ индефинитную метрику $\langle \cdot, \cdot \rangle$, полагая для $z_i = x_i + y_i$, где $y_i \in H$, $x_i \in D(A)$ ($i=1, 2$):

$$\langle z_1, z_2 \rangle = (y_1, y_2) + (Ax_1, x_2) \quad (3.8)$$

Метрика (3.8) невырождена, если оператор A обратим. Если у оператора A имеется ненулевое ядро, то следует перейти к пучку $L(\lambda + ia) = -L(ia) + \lambda(B + iaI) + \lambda^2 I$. Можно выбрать малое вещественное число a так, чтобы оператор $L(ia)$ был обратим (число α его отрицательных собственных чисел не превосходит α). Замыкая $H^{\oplus}D(A)$ по метрике (3.8), получим пространство Л. С. Понtryгина Π_α . Непосредственно проверяется симметричность оператора iS с областью определения $D(iS) = D(A) \oplus \Phi D(A)$ в пространстве Π_α . Симметрия спектра оператора S относительно мнимой оси и неравенство (3.3) следуют из известных результатов Л. С. Понtryгина [16] (см. также [18]).

Последнее утверждение теоремы 2 доказывается с помощью теоремы [19] о базисности Рисса корневых векторов вполне непрерывного самосопряженного в Π_α оператора.

Определение. Пучок $L(\lambda)$ называется устойчивым, если все его собственные числа чисто мнимые, их алгебраическая кратность равна единице, т. е. алгебраическая кратность собственных чисел оператора S равна единице.

Теорема 3. Устойчивость решений уравнения (3.1) эквивалентна устойчивости пучка $L(\lambda)$.

Доказательство. Из неустойчивости пучка нетрудно вывести неустойчивость нулевого решения уравнения (3.1). Докажем обратное утверждение. Если $L(\lambda)$ устойчив, то оператор

$$S' = \begin{vmatrix} I & 0 \\ 0 & A_{+\frac{\alpha}{2}} \end{vmatrix} S \begin{vmatrix} I & 0 \\ 0 & A_{-\frac{\alpha}{2}} \end{vmatrix} \quad (3.9)$$

имеет чисто мнимый алгебраически простой спектр. В силу теоремы 2 его собственные векторы образуют базис Рисса в пространстве $H^{\oplus}H$, поэтому оператор S' представим в виде $S' = QTQ^{-1}$, где Q — ограниченный обратимый оператор, а оператор T кососамосопряжен. Тогда решения уравнения $w = S'w$ устойчивы в $H^{\oplus}H$, что в силу равенства (3.9) означает устойчивость решений уравнения (3.1) в энергетической норме (2.2). Теорема 3 доказана.

Достаточные условия неустойчивости пучка $L(\lambda)$ даются теоремой 4, которая обобщает на бесконечномерный случай соответствующую теорему Томсона — Тэта [11].

Теорема 4. Предположим, что выполняются следующие условия: оператор A самосопряжен, полуограничен снизу, оператор A^{-1} существует, $A^{-1} \in \sigma_p$ (определение идеала σ_p вполне непрерывных операторов см. в [15]); оператор B представим в виде $B = G(A + \gamma I)^\alpha$, где $0 \leq \alpha < 0.5$, G — ограниченный оператор, постоянная γ выбрана так, что оператор $A + \gamma I$ положителен; комплексное гильбертово пространство H является комплексификацией некоторого вещественного гильбертова пространства, операторы A и B вещественны.

Тогда пучок $L(\lambda)$ имеет четное (нечетное) число положительных собственных чисел с учетом их алгебраической кратности, если оператор A имеет четное (нечетное) число отрицательных собственных чисел с учетом их кратности.

Доказательство несколько более слабого утверждения приведено в [6].

Применим теоремы 2—4 к уравнениям

$$\frac{\partial^4 u}{\partial x^4} + v^2 \frac{\partial^2 u}{\partial x^2} + 2\beta v \frac{\partial^2 u}{\partial t \partial x} + \frac{\partial^2 u}{\partial t^2} = 0 \quad (3.10)$$

$$u|_{x=0}=u|_{x=1}=\partial^2 u/\partial x^2|_{x=0}=\partial^2 u/\partial x^2|_{x=1}=0$$

Согласно теореме 3, для исследования устойчивости по Ляпунову решений уравнений (3.10) следует положить $u=e^{\lambda t}y(x)$, $\lambda=\xi+i\eta$ в уравнениях (3.10) и изучать расположение спектра задачи

$$y''+v^2y'''+2\beta v\lambda y''+\lambda^2y=0 \quad (3.11)$$

$$y(0)=y(1)=y''(0)=y''(1)=0$$

На основании теоремы 2 спектр уравнений (3.11) состоит из изолированных точек $\{\lambda_j\}$ конечной алгебраической кратности, симметричен относительно мнимой оси и в силу вещественности операторов A и B относительно вещественной оси. При $\pi n < v < \pi(n+1)$ ($n=0, 1, 2, \dots$) выполняется неравенство

$$\rho(\lambda_1)+\rho(\lambda_2)+\dots \leq n \quad (3.12)$$

если $\xi:=\operatorname{Re} \lambda_i \geq 0$ ($i=1, 2, \dots$). В частности, число собственных чисел, лежащих в открытой правой полуплоскости, не превосходит n . Не чисто мнимые собственные числа лежат в круге с центром в $\lambda=0$ и радиусом $0,5v^2$. Полученные результаты позволяют при численном исследовании спектра задачи (3.11) ограничиваться четвертью круга $\{\lambda|\lambda=\xi+i\eta, \xi \geq 0, \eta \geq 0, \xi^2+\eta^2 \leq 0,25v^4\}$ и утверждать, что если при $\pi n < v < \pi(n+1)$ в полуплоскости $\{\lambda|\operatorname{Re} \lambda > 0\}$ найдено n собственных чисел задачи (3.11), то ими исчерпывается спектр неустойчивости.

Спектр уравнений (3.11) содержит четное (нечетное) число положительных собственных чисел с учетом их алгебраической кратности в зависимости от четности n . В частности, при $\pi(2n-1) < v < 2\pi n$ ($n=1, 2, \dots$) существует хотя бы одно положительное собственное число в спектре задачи (3.11), а при $\pi < v < 2\pi$, как следует из неравенства (3.12), в частности одно положительное собственное число, что означает для трубопровода режим дивергенции.

4. При малых β можно получить приближенные формулы для точек спектра задачи (3.11), используя ряды теории возмущений линейных операторов [8].

Теорема 5. В предположениях для уравнения (3.2) и третьего для теоремы 4 рассмотрим пучок $L_\beta(\lambda)=\lambda^2 I + 2\beta \lambda B + A$ с малым положительным параметром β .

1. Пусть $-\lambda_0^2$ ($\lambda_0 \neq 0$) — простое собственное число оператора A : $Ae_0 + \lambda_0^2 e_0 = 0$. Тогда при достаточно малых β уравнение $L_\beta(\lambda)e=0$ имеет собственный вектор $e=e(\beta)$ и собственное значение $\lambda=\lambda(\beta)$, являющиеся аналитическими функциями β^2 . В частности

$$\lambda(\beta) = \lambda_0 [1 - 2\beta^2 ((A + \lambda_0^2 I)^{-1} B e_0, B e_0) + O(\beta^4)] \quad (4.1)$$

(так как $(B e_0, e_0) = 0$, то вектор $(A + \lambda_0^2 I)^{-1} B e_0$ определен).

2. Пусть $-\lambda_0^2$ ($\lambda_0 \neq 0$) — двукратное собственное число оператора A :

$$Au + \lambda_0^2 u = 0, \quad Av + \lambda_0^2 v = 0, \quad |u|=|v|=1, \quad (u, v) = 0$$

Тогда при достаточно малых β уравнение $L_\beta(\lambda)e=0$ имеет пару собственных векторов и пару собственных чисел $\lambda^\pm(\beta)$, являющихся аналитическими функциями β . В частности

$$\lambda^\pm(\beta) = \lambda_0 \pm i\beta (Bu, v) + O(\beta^2) \quad (4.2)$$

Из формулы (4.2) вытекает, что при малых β уравнения (3.11) имеют пару комплексно-сопряженных собственных чисел

$$\lambda^\pm(\beta) = \pi m n \pm i\beta \frac{2\pi mn v [1 - (-1)^{m+n}]}{m^2 - n^2} + O(\beta^2) \quad (4.3)$$

если для некоторого v , $\pi N < v < \pi(N+1)$ ($N=1, 2, \dots$) найдется единственная пара натуральных чисел m, n ($n \leq N, m \leq N$), такая, что $v^2 = \pi^2(m^2 + n^2)$. Более громоздкая формула для собственных чисел задачи (3.11), вытекающая из формулы (4.1), здесь не дается.

Из приведенных результатов о спектре задачи (3.11) нельзя сделать вывод о неустойчивости нулевого решения уравнений при всех достаточно больших v . Ответ на этот вопрос дает

Теорема 6. Пусть N — натуральное число ($N > 2$), δ' — малое положительное число, $0 < \beta' < 1$. Существует такое $v' = v(N, \delta', \beta')$, что для $v > v'$, $|v - \pi n| > \delta'$ ($n=1, 2, \dots$) спектр задачи (3.12) содержит вещественные точки $\{\lambda_n\}_{n=1}^N$, для которых справедлива асимптотическая формула

$$\lambda_n = \pi n v / \sqrt{1 - \beta'^2} + O(v^{-1}) \quad (4.4)$$

Формула (4.4) сохраняется в случае, когда $\beta \neq \beta_*$, $v \neq \pi n + \delta$, $|\delta| < \delta'$, $v > v'$, δ и $1 - 3\beta^2$ разного знака. Если δ и $1 - 3\beta^2$ одного знака, в спектре задачи (3.11) можно указать не менее $2(N-2)$ вещественных точек $\{\lambda_n\}$, для которых выполняется формула (4.4) при $|n|=1, \dots, p-1, p+2, \dots, N$, где p может принимать значения $p=1, 2, \dots, N-1$.

При $\beta \neq \beta_*$ и достаточно больших v в спектре задачи (3.11) всегда присутствуют положительные собственные числа, что влечет неустойчивость нулевого решения уравнений (3.10).

Существует такое β_0 , $0 < \beta_0 \leq \beta_*$, что при $v > \pi$, $0 \leq \beta < \beta_0$ нулевое решение уравнений (3.10) неустойчиво.

При $v = \pi n$ ($n=1, 2, \dots$) в спектре задачи (3.11) имеется собственное число $\lambda = 0$, которому отвечает собственная функция $e_n = 2^{\frac{n}{2}} \sin(\pi n x)$. Полагая

$$\begin{aligned} v = \pi n \pm \delta^2 (\delta > 0) \quad y^\pm(\delta) &= e_n + \delta y_1^\pm + \\ &+ \delta^2 y_2^\pm + \dots, \quad \lambda^\pm(\delta) = \delta \lambda_1^\pm + \delta^2 \lambda_2^\pm + \dots \end{aligned} \quad (4.5)$$

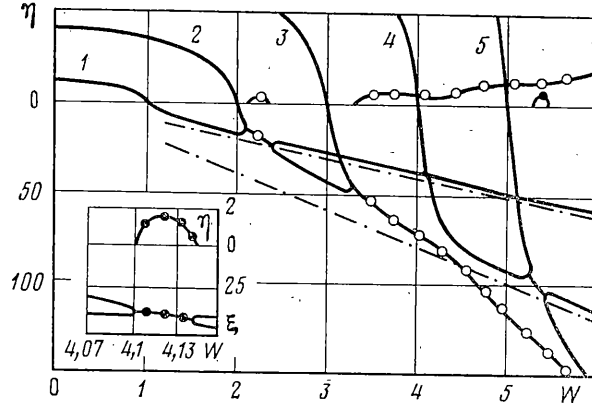
в уравнении (3.11), получим

$$\begin{aligned} \lambda_1^- &= i \lambda_1^+, \quad \lambda_1^+ = \pm \pi n \sqrt{2 \pi n / (1 - 3\beta^2)} \quad (n \text{ четное}) \\ \lambda_1^+ &= \pi n \sqrt{2 \pi n / (1 - 3\beta^2 + 32(\pi n)^{-2})} \quad (n \text{ нечетное}) \end{aligned} \quad (4.6)$$

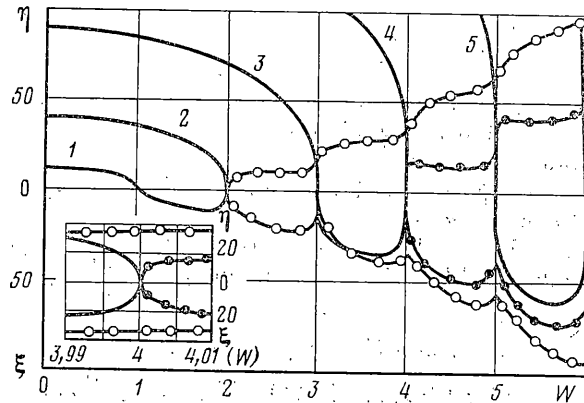
Ряды (4.5) сходятся при малых δ . Формула (4.6) показывает, что при четном n , $0 \leq \beta < \beta_*$, $v \rightarrow \pi n - 0$ уравнение (3.11) имеет пару чисто мнимых собственных значений, сливающихся в нуле при $v = \pi n$. С ростом v эти собственные числа выходят из нуля и движутся по вещественной оси в разные стороны. При $\beta > \beta_*$, $v \rightarrow \pi n - 0$ два вещественных собственных числа сливаются в нуле, с ростом v попадают на мнимую ось.

Покажем, что при $v = 2\pi + \delta^2$ (δ мало) решения уравнений (3.10) устойчивы; если $\beta > \beta_*$. Этот эффект, свойственный гироскопическим системам и названный Томсоном временной стабилизацией, численно обнаружен при некоторых β в [1, 5] (из теоремы 1 следует, что стабилизация, вызванная гироскопическими силами, разрушается при включении сил трения ($\alpha + k > 0$)).

При $\pi < v < 2\pi$ не чисто мнимый спектр задачи (3.11) состоит из двух вещественных чисел, сливающихся в нуле при $v = 2\pi$. С возрастанием v эти числа выходят из нуля и движутся по мнимой оси. С помощью неравенства (3.12) можно установить, что при $v = 2\pi$ задача (3.11) имеет единственную присоединенную функцию, отвечающую нулевому собственному числу. Непосредственные вычисления показывают, что при $v = 2\pi$ каждому собственному числу уравнений (3.11) отвечает единственная собственная функция. Значит, при малых $\delta > 0$ и $\beta > \beta_*$ спектр задачи (3.11) чисто мнимый и алгебраически простой. Из теоремы 3 вытекает, что в этом случае решения уравнений устойчивы.



Фиг. 1



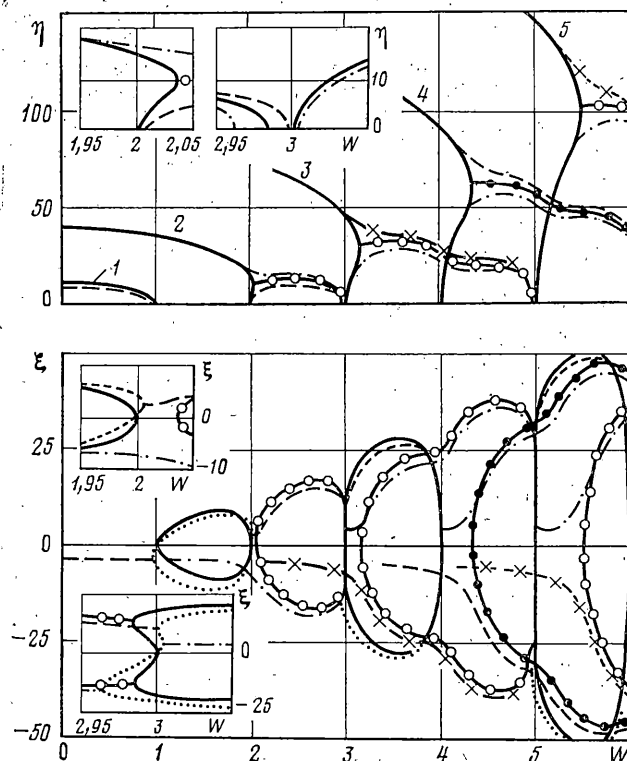
Фиг. 2

5. Результаты вычислений первых пяти собственных чисел λ для значений $\beta = [m/(m+m_t)]^{1/2}$, $\beta=0.1$; $3^{-1/2}$; 0.9 в зависимости от параметра $w=v/\pi$ ($0 \leq w \leq 6$) приведены на фиг. 1–3. В силу симметрии спектра при $\alpha=k=0$ (фиг. 1, 2) рассматриваются лишь собственные значения, лежащие в первой четверти плоскости ($\xi \geq 0$, $\eta \geq 0$). Чисто мнимые λ ($\xi=0$, $\eta>0$) отвечают режиму свободных колебаний, вещественные λ ($\xi>0$, $\eta=0$) соответствуют дивергенции, комплексные λ ($\xi>0$, $\eta>0$) – флаттеру. Области флаттера выделены на фигурах кружком и точкой.

На фиг. 1 первое собственное число λ_1 положительно, если $1 < w < 2.12$. Положительность λ_1 при $1 < w < 2$, $0 \leq \beta < 1$ доказана в конце п. 3. При $w=2.42$ корни λ_1 и λ_2 сливаются, возникает флаттер, при $w=2.38$ числа λ_1 и λ_2 вновь становятся вещественными. Второй флаттер возникает при слиянии частот λ_2 и λ_3 ($w=3.34$). На интервале $(3.34; 6)$ корни λ_2 и λ_3 комплексны, их вещественные части быстро растут с ростом w . При $4 < w < 5$ число λ_1 вещественно, за исключением интервала флаттера $(4; 4.14)$, выделенного на фиг. 1. При $w=5.30$ число λ_4 сливается с λ_5 , возникает флаттер, который заканчивается при $w=5.50$. Асимптотическая формула (4.3) дает хорошее совпадение с расчетными значениями частот флаттера для $\beta=0.1$. При $\beta \rightarrow 0$ интервалы флаттеров неограниченно сужаются, что затрудняет их численный поиск. В этом случае формула (4.3) помогает найти ряд значений w , для которых флаттер наверняка есть ($w=5^{1/2}, 13^{1/2}, 17^{1/2}, \dots$).

В случае $\beta=\beta_* = 3^{-1/2}$ (фиг. 2) слияние и распадение корней происходит в нуле, причем для $w=2, 4, 6, \dots$ сливаются четыре корня, что может быть выведено аналитически аналогично формулам (4.5), (4.6).

Поведение собственных частот при $\beta=0.9$ изображено на фиг. 3. Кроме случая $\alpha=k=0$ представлен случай $\alpha=0$, $k=8$. С введением демпфирования симметрия спектра относительно мнимой оси исчезает, поэтому поведение корней рассматривается в полуплоскости $\{\lambda | \lambda = \xi + i\eta, \eta \geq 0\}$. В случае $k=8$ области чисто вещественных корней изображены пунктирной линией, области комплексных корней – прерывистыми линиями. Для $\alpha=k=0$ на интервале $(2; 2.03)$ наблюдается возврат к устойчивости: все частоты чисто мнимые (для $w=2+\delta^2$, где δ мало, это доказано в конце п. 4). При $w>2.03$ возврата к устойчивости нет. Флаттеры образуются с мнимой оси при



Фиг. 3

$w = n + \delta_n$ ($0 < \delta_n < 1$), где δ_n растет с увеличением n . Частоты колебаний, возникающих при этом, растут: $\eta_2 = 11$, $\eta_3 = 31$, $\eta_4 = 62$. С введением внешнего трения верхняя часть графика $\xi = \xi(w)$ смещается по отношению к графику ($k=0$) вправо, а нижняя — влево; при этом, как показано в конце п. 2, чисто мнимых корней нет, число неустойчивых частот равно [w], критический интервал устойчивости исчезает. Слияние и распадение траекторий корней в окрестности целых w происходит, как на вынесенных фрагментах (фиг. 3).

Значение параметра β качественно влияет на поведение собственных частот $\lambda = \lambda(w)$. С ростом β увеличивается частота флаттера, но уменьшается амплитуда. При $\beta < \beta_*$ преобладает флаттер, при $\beta > \beta_*$ на «нечетных» интервалах (1; 2), (3; 4), (5; 6) преобладает дивергенция, на «четных» (2; 3), (4; 5) — флаттер. При малых β положительные частоты с ростом w быстро стремятся к своим асимптотическим значениям (4.4). В случае $\beta < \beta_*$ корень λ_n проходит при $w=n$ через нуль и становится вещественным (см. (4.5), (4.6)). Если $\beta > \beta_*$ при $w=n$, через нуль проходит λ_k ($k < n$); при $n < w < n + \delta_n$ корень λ_k чисто мнимый, при $w = n + \delta_n$ — сливается с λ_n , флаттер образуется с мнимой оси. Введение демпфирования приводит к тому, что при любом β флаттер образуется с вещественной оси.

ЛИТЕРАТУРА

1. Paidussis M. P., Issid N. T. Dynamic stability of pipes conveying fluid. — J. Sound and Vibr., 1974, v. 33, No. 3, p. 267—294.
2. Феодосьев В. И. О колебаниях и устойчивости трубы при протекании через нее жидкости. — Инж. сб., 1951, т. 10, с. 169—170.
3. Мовчан А. А. Об одной задаче устойчивости трубы при протекании через нее жидкости. — ПММ, 1965, т. 29, вып. 4, с. 760—762.
4. Доценко П. Д. Некоторые результаты исследования собственных колебаний прямолинейных трубопроводов с жидкостью. — Прикл. механика, 1979, т. 15, № 1, с. 69—75.
5. Доценко П. Д., Зефиров В. Н. Собственные колебания трубопровода с промежуточной упругодемпфирующей опорой. — Самолетостроение. Техника воздушного флота: Сб. статей. Харьков: Вища школа, 1978, вып. 44, с. 66—71.
6. Милославский А. И. О неустойчивости прямолинейных трубопроводов. — Динамика систем, несущих подвижную распределенную нагрузку: Сб. статей. Харьков: Изд-е Харьк. авиац. ин-та, 1980, вып. 2, с. 38—47.

7. Милославский А. И. Спектральные свойства одного класса квадратичных операторных пучков. — Функциональный анализ и его приложения, 1981, т. 15, вып. 2, с. 81—82.
8. Каго Т. Теория возмущений линейных операторов. М.: Мир, 1972. 740 с.
9. Зефиров В. И., Старов А. М. Об исследовании рассеяния энергии при колебании трубопроводов. — Динамика систем, несущих подвижную распределенную нагрузку: Сб. статей. Харьков: Изд-во Харьк. авиац. ин-та, 1980, вып. 2, с. 62—68.
10. Крейн С. Г. Об одной интерполяционной теореме в теории операторов. — Докл. АН СССР, 1960, т. 130, № 3, с. 491—494.
11. Четаев Н. Г. Устойчивость движения. Работы по аналитической механике. М.: Изд-во АН СССР, 1962. 535 с.
12. Крейн С. Г. Линейные дифференциальные уравнения в банаховом пространстве. М.: Наука, 1967. 464 с.
13. Якубов С. Я. Равномерно корректная задача Коши для абстрактных гиперболических уравнений. — Изв. вузов. Математика, 1970, № 12, с. 108—113.
14. Zajac E. E. The Kelvin — Tait — Chetaev Theorem and Extensions — J. Astronaut. Sci., 1964, v. 11, No. 2, p. 46—49.
15. Гохберг И. Ц., Крейн М. Г. Введение в теорию линейных несамосопряженных операторов в гильбертовом пространстве. М.: Наука, 1965. 448 с.
16. Понtryгин Л. С. Эрмитовы операторы в пространстве с индефинитной метрикой. — Изв. АН СССР. Сер. матем., 1944, т. 8, № 6, с. 243—280.
17. Якубов С. Я. О двукратной полноте собственных и присоединенных элементов квадратичного операторного пучка. — Функциональный анализ и его приложения, 1973, т. 7, вып. 1, с. 92—94.
18. Иохвидов И. С., Крейн М. Г. Спектральная теория операторов в пространствах с индефинитной метрикой. I. — Тр. Моск. матем. о-ва, 1956, т. 5, с. 369—432.
19. Азизов Т. Я., Иохвидов И. С. Критерий полноты и базисности корневых векторов вполне непрерывного J-самосопряженного оператора в пространстве Понtryгина П. — Матем. исследования: Сб. статей. Кишинев: Изд-во АН МолдССР, 1971, вып. 4, с. 158—161.

Харьков, Ростов-на-Дону

Поступила в редакцию
25.II.1983

УДК 539.375

К ВОПРОСУ О ХРУПКОМ РАЗРУШЕНИИ УПРУГОЙ ПЛОСКОСТИ С ТОНКИМ ВЫРЕЗОМ ПРИ ДВУХОСНОМ НАПРЯЖЕННОМ СОСТОЯНИИ

ЗОРИН И. С.

Изучение возможностей математического представления трещины в линейной механике разрушения и особенно в задачах, связанных с определением теоретической прочности хрупких материалов, представляет в настоящее время несомненный интерес. Основоположник современной теории А. А. Гриффитс в качестве модели рассматривает тонкий эллипс [1]. При другом подходе [2] трещина трактуется как математический разрез и используется локальная характеристика концевой зоны — коэффициент интенсивности напряжений. В [3, 4] дополнительно привлекаются предположения о действии сил сцепления, обеспечивающих конечность напряжений в вершинах разреза. Вместе с тем отмечается, [5, 6] некоторое несоответствие результатов расчета предельных нагрузок по различным моделям.

Представляется естественным рассматривать трещину в упругом теле как тонкий гладкий вырез, граница которого в окрестности кромок обладает значительной кривизной [7]. В публикуемой работе изучается двухосное напряженное состояние плоскости с таким дефектом, когда отношение приложенных на бесконечности нагрузок имеет порядок $\varepsilon > 0$ относительного поперечного размера выреза (фиг. 1). Отыскиваются первые члены равномерной по параметру ε асимптотики точного решения, при этом существенно, что в качестве одной из предельных задач выступает задача теории упругости для плоскости с разрезом, к берегам которого приложена нагрузка, определяемая геометрией выреза. Изучаются асимптотические свойства поля напряжений; при решении задачи о разрушении применяется критерий [8], предложенный В. В. Новожиловым.

1. Пусть $G_\varepsilon = \{(x, y) : x \in [-a, a], \varepsilon f_-(x) \leq y \leq \varepsilon f_+(x)\}$, причем $f_+(x) > f_-(x)$ при $x \in (-a, a)$ и $f_+(x) = f_-(x)$ при $x = \pm a$. Предположим, что функции $f_\pm(x)$ и их первые производные удовлетворяют условию Гельдера всюду на $[-a, a]$, исключая, может быть, окрестности концов отрезка. Здесь $\varepsilon = \max |y|/a$ ($(x, y) \in \partial G_\varepsilon$) — малый параметр задачи. Введем еще множество $\Omega_\varepsilon = R^2 \setminus G_\varepsilon$.

Рассмотрим систему уравнений теории упругости в напряжениях и поставим соответствующие краевые условия: